



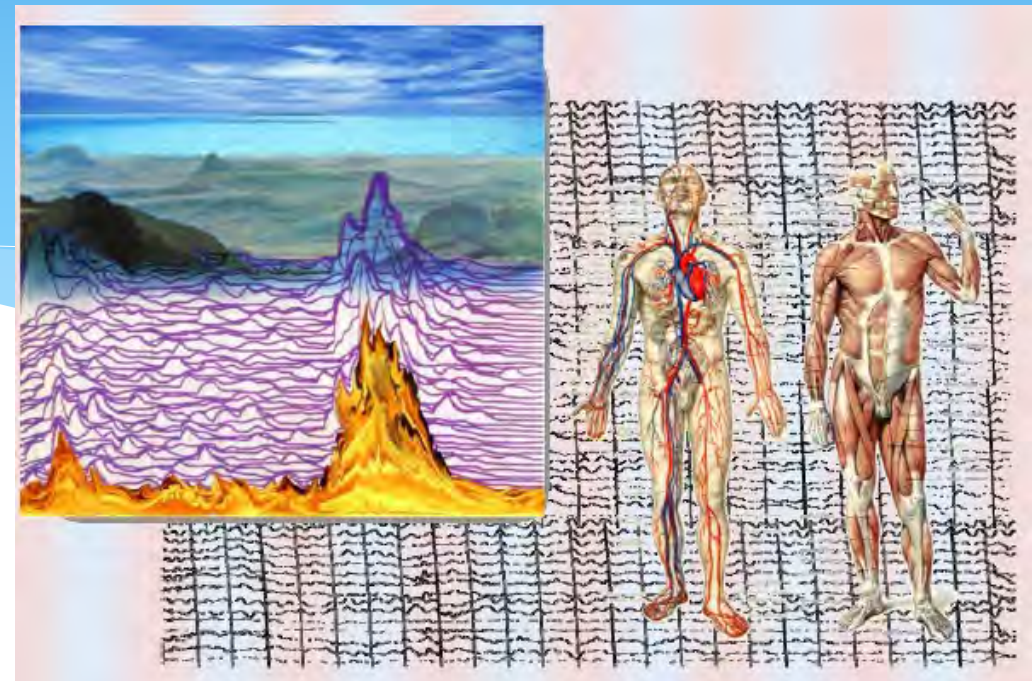
1990-2023

Светлой памяти моих учителей
Филатова А.И., Курдюмова С.П., Журавлева В.А.



Регистрация треков частиц в неравновесных водных растворах при электролизе, биохимических и химических реакциях, и в неоднородных магнитных полях

13 - 15 ноября 2023 г. VI Всероссийская конференция
Физика водных растворов, Москва

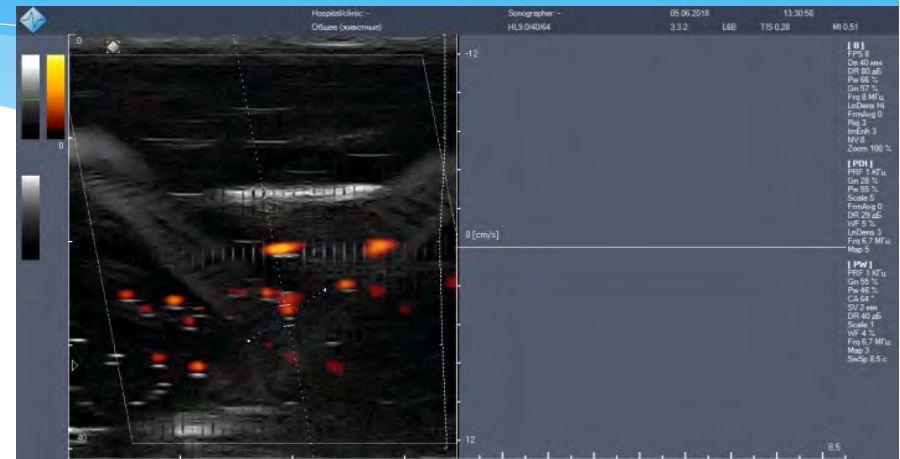


Широносов Валентин Георгиевич
+7 (912) 003-71-71

Научно-исследовательский центр "ИКАР"
<https://ikar.udm.ru/>

Перевод жидкостей в неравновесное термодинамическое состояние (НТС) может быть осуществлен посредством веществ, физических воздействий (полей, токов...), в том числе и на основе химических и биохимических реакций. При этом в неравновесных водных растворах могут возникать и наблюдаться методами УЗИ-Д и МРТ трёхмерные диссипативные структуры – на основе СИ (Спиновых Изомеров)

В данной работе исследованы вариации треков частиц, обнаруженных ранее [1-3, 7] при электролизе в неравновесных водных растворах. Обнаружено влияние неоднородных магнитных полей (N/S) на траекторию треков и появление треков при биохимических и химических реакциях.



- [1] В.Г. Широносов. Вариации окислительно-восстановительного потенциала и стабилизации pH при электролизе водных растворов. –5-я Всероссийская конференция "Физика водных растворов". Сборник трудов, с.122 ([2022](#)).
- [2] Л.И. Уруцкоев, В.И. Ликсонов, В.Г. Циноев. Прикладная физика, №4. с. 83 – 100 ([2000](#)).
- [3] В.А. Жигалов и др. ЖФНН, , 21-22(б), с. 10-25 ([2018](#)).
- [4]. Першин С.М. Квантовые отличия орто и пара спиновых изомеров H₂O как физическая основа аномальных свойств воды. Наноструктуры. Математическая физика и моделирование, том 7, № 2, 103–120, ([2012](#)).
- [5] Першин С.М., Бункин А.Ф., Анисимов Н.В., Пирогов Ю.А. Магнитные и немагнитные изомеры H₂O в воде и водных растворах: нелинейно-оптическая спектроскопия и МРТ. –5-я Всероссийская конференция "Физика водных растворов". Сборник трудов, с.70 ([2022](#)).
- [6]. Князева Е.Н., Курдюмов С.П. Основания синергетики. Синергетическое мировидение. Серия "Синергетика: от прошлого к будущему". Изд.2, испр. и доп. Гл.5, 240 с., ([2005](#)).
- [7] В.Г. Широносов. Проблемы современной биомедфизики, моделирования и пути их решения. – XXX межд. конф. "Математика. Компьютер. Образование". Сборник тезисов, с.122 ([2023](#)).

Исследования проводились известными методами регистрации треков на CD-R и ПЭТ-пленках, а также ОВП и рН-метрии, ультразвуковой, оптической и СВЧ спектроскопии, рентгенографии, магнитной восприимчивости и МРТ [1-5]. Во всех экспериментах для сред, находящихся в неравновесном термодинамическом состоянии [6], наблюдались характерные общие закономерности – появления одиночных и спаренных треков частиц, и трехмерных диссипативных структур [1-6].

В основе опытов (Рис.1, 5) – появление характерных эффектов – треков и изменений ОВП водных растворов при неизменном рН в полипропиленовой ёмкости 1, без изменения ОВП в стеклянной 2, как при электролизе водного раствора (ЭВР) NaHCO_3 (3) [1], так и при биохимических и химических реакциях (БХР – дрожжи, закваски, йогурты, $\text{Mg}+\text{AgNO}_3+\text{H}_2\text{O}$).

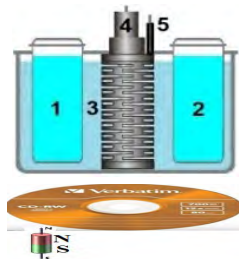


Рис.1. Схема опыта с ЭВР.



Рис.2. Треки в р-ре 3.



Рис.3. Треки в р-ре 3 с N/S.



Рис.4. Доплер УЗИ р-ры 1, 3.



Рис.5. Схема опыта с БХР.



Рис.6. Треки БХР (от дрожжей).

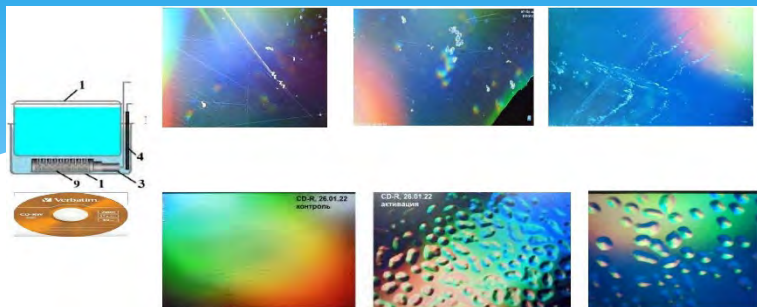


Рис.7. Треки БХР (от йогурта).



Рис.8. МРТ р-ра 1.

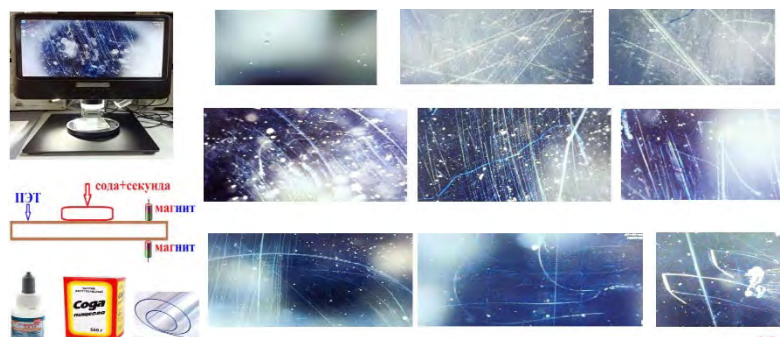
1. Треки частиц на CD-R при электролизе водных растворов



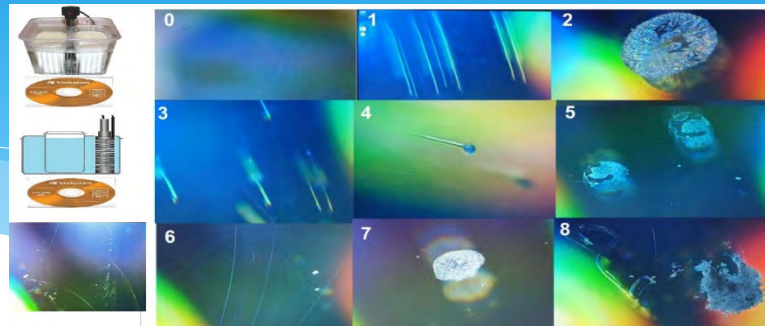
Треки частиц на CD-R от биосистем (дрожжи)



Треки частиц на ПЭТ от "Секунды" + Соды + ПЭТ и Магнита



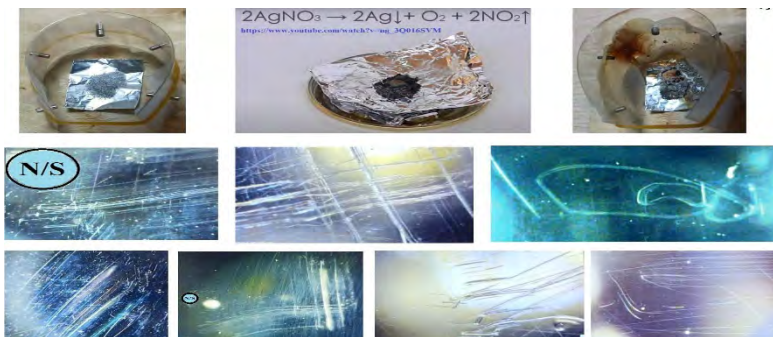
Треки частиц на CD-R при БА-приготовлении йогурта

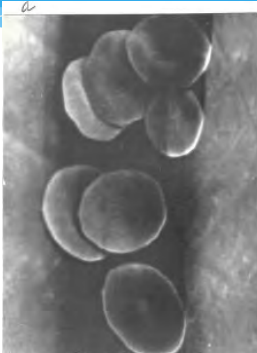
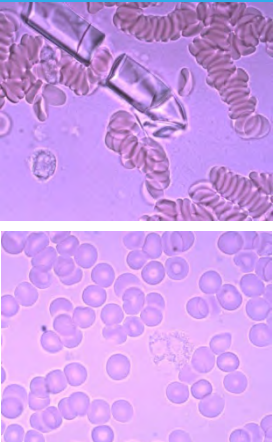


Треки частиц на CD-R от биосистем (ЖКТ)



Треки частиц на ПЭТ от $\text{AgNO}_3+\text{Mg}+\text{H}_2\text{O}+\text{магниты}$





Формы
эритроцитов
контрольной
крови, плоские
эритроциты ,
*5.000, ($Eh = 80$
мВ.



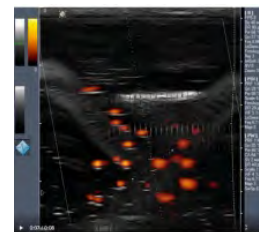
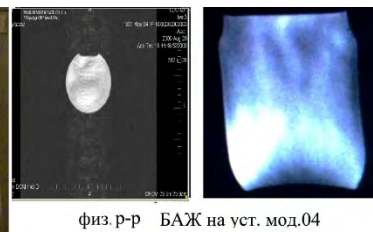
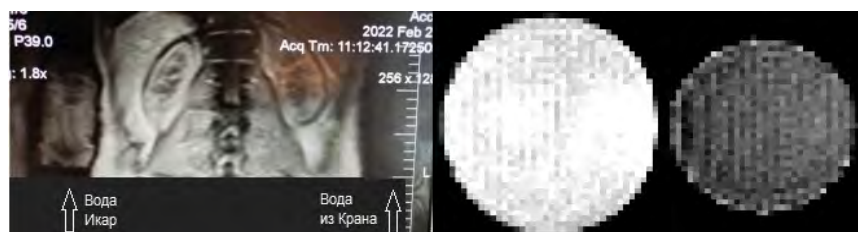
Больная Е, 60 лет,
рак молочной железы



Формы эритроцитов крови БА,
игольчатый сфероцит, *10.000, ($Eh = -150$ мВ)

2002 Исследовано влияние бесконтактной
активации на состояние и свойства крови и
ее форменных элементов методом
растровой электронной микроскопии.

Киселёв Б.И. Способ обработки физиологического раствора.
Патент № 2588759, 1985.
Лопатин С. В. Опыт применения гипохлорита натрия в
лечении. 2000..



22.02.22 МРТ позвоночника, рядом 2
бутилки с водой: слева вода Икар,
справа Водопровод. Справа - почти не
видно. Слева - хорошо "Ярко".

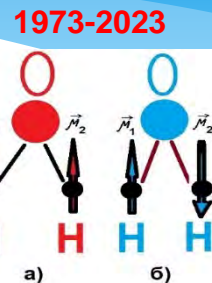
22.12.21 sb78-1-4.pdf -
стр.13, МРТ - слева вода через 7
месяцев после кавитационной
обработки, справа обычная вода.

29.09.08-11.09.09 г. Ижевск, НИЦ “ИКАР”, МРТ БАЖ физ. р-р на уст. “ИКАР”(мод.04)

16.11.22



Вручение нац. премии УР "Золотой Домкрат" "Бизнес-Успех" в области "ЗОЖ" ("Золотой Домкрат")



Спиновые Изомеры



Атом Бора



01.08.23



Установки и комплексы “ИКАР”

изобретено, разработано
и выпускается в Удмуртии.

Питьевая Вода и Антисептики высшего качества
<https://ikar.udm.ru/partner.htm>



“ИКАР”(mod.2000)



“ИКАР”(mod.01os)



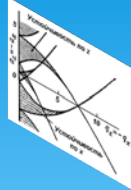
“ИКАР”(mod.01m)



Резонансные ловушки для частиц
1838...2023



$$x'' + (\varepsilon_0 + \varepsilon_1 \cos \tau) x = 0$$

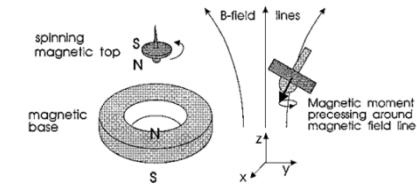
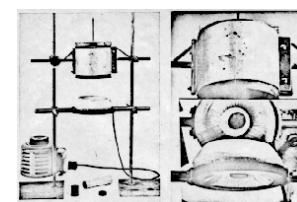
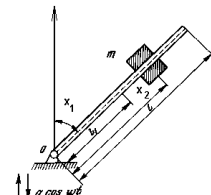
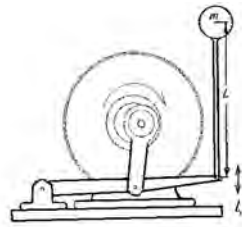
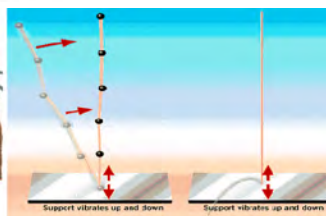
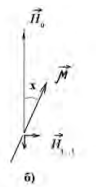
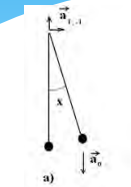


Модель Как посредник между истиной и мозгом

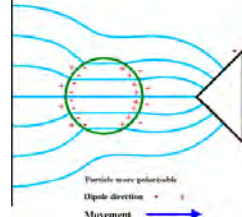
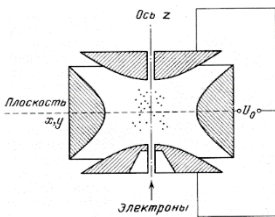
Селективное удержание и управление движением, динамикой тел и частиц (от элементарных до макро), биохимическими реакциями в неоднородных электромагнитных полях без внешней обратной связи

$$x'' + \varepsilon_r x' + (\varepsilon_0 + \varepsilon_1 \cos \tau) \sin x - \varepsilon_1 \cos(\tau + \varphi) \cos x = 0 \quad (1988)$$

**Маятник и Диполь, как Праородитель Всего Моделирования ...
... Экспериментальной и Теоретической БиоМедФизики!**



XIV век, Бомбей; Andrew Stephenson, 1908



Hans G. Dehmelt,
Wolfgang Paul 1989

П.Л. Капица, 1951



В.Н. Челомей, 1956



H. van der Heid, 1974



Roy Harrigan, 1983-1995

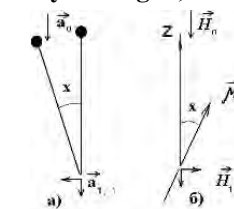
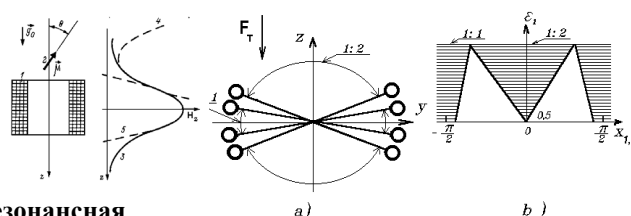


Рис.1. Устойчивость маятника и диполя ($H_0 \downarrow \mu$) при резонансе [4] 1988

Резонансная
ловушка в ~H



Точки Хаоса и Бифуркации, 1990

Рис.2. Динамика
изомеров из диполей [7]

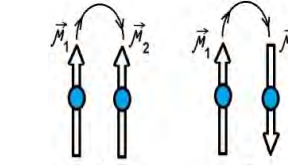
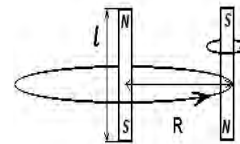


Рис.3. Динамика изомеров
точечных диполей,
а) $\mu_1 \uparrow \uparrow \mu_2$, поле $H_{\mu_1} \uparrow \downarrow H_{\mu_2}$;
б) $\mu_1 \uparrow \downarrow \mu_2$, поле $H_{\mu_1} \uparrow \uparrow H_{\mu_2}$ [8]

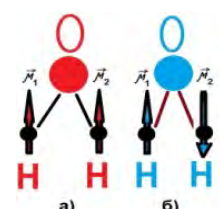
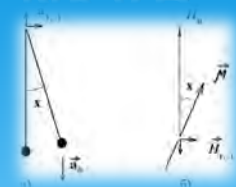


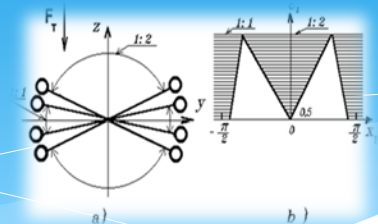
Рис.4. Спиновые изомеры в
воде [2] а) орто ($\mu_1 \uparrow \uparrow \mu_2$);
б) пара ($\mu_1 \uparrow \downarrow \mu_2$) [10]

Резонанс как наиболее устойчивое состояние движения в природе



Нелинейный маятник и диполь - реальная модель для нелинейных систем

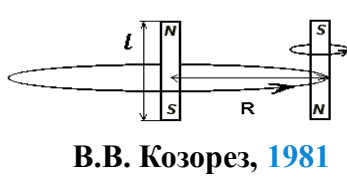
НДС - ОДУ с резонансом “3/2” и “4/2”



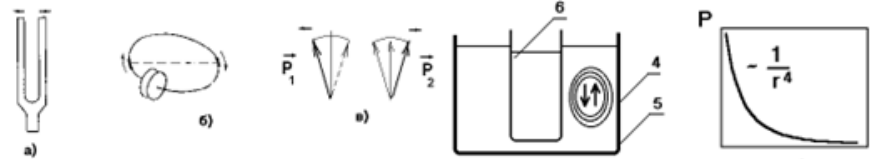
$$x'' + \varepsilon_r x' + (\varepsilon_0 + \varepsilon_1 \cos \tau) \sin x - \varepsilon_1 \cos(\tau + \varphi) \cos x = 0$$

1988 - получено аналитическое решение на основе метода S-функции

P.S. 1984 - получено решение для системы из двух диполей (“Спиновых Изомеров”)



B.V. Козорез, 1981



$$x = x_0 + \sum_{n=1}^{\infty} [x_n \cos(n\alpha t) + (y_n/n) \sin(n\alpha t)],$$

$$x, x' = f(x_k, y_k, x'_k, y'_k),$$

$$S = s - y_0^2,$$

$$R = (\varepsilon_r/2) [y_0^2 + (1/2) \sum_{n=1}^{\infty} [x_n^2 + y_n^2]].$$

$$s = \langle L \rangle = (a/2\pi) \int_0^{2\pi/\alpha} L d\tau$$

$$S = \sum_{n=1}^{\infty} n^2 \alpha^2 r_n^2 / 4 - y_0^2 / 2 + (1/2)$$

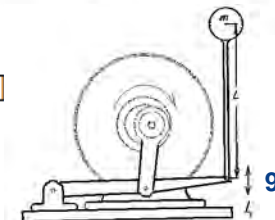
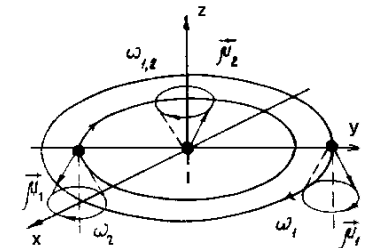
$$\sum_{k_1, k_2, \dots = -\infty}^{+\infty} \prod_{n=1}^{+\infty} J_{kn}(r_n) \sum_{\beta=1}^{+1} \varepsilon_{\beta} \delta_{\sum k_n n \alpha}^{\pm \beta}$$

$$(1 + \delta_{\beta}^0) \cos[x_0 + \sum_{n=1}^{\infty} k_n (\pi/2 - \delta_{\beta}^{\pm 1} \psi_n) - \delta_{\beta}^{-1} (\pi/2 \pm \varphi)],$$

$$S = \sum_{n=1}^{\infty} n^2 \alpha^2 r_n^2 / 4 - y_0^2 / 2 + (1/2) \sum_{k_1, k_2, \dots = -\infty}^{+\infty} \prod_{n=1}^{+\infty} J_{kn}(r_n) \sum_{\beta=1}^{+1} \varepsilon_{\beta} \delta_{\sum k_n n \alpha}^{\pm \beta}$$

где $J_{kn}(r_n)$ – функции Бесселя, δ_{β}^n – символ Кронекера.

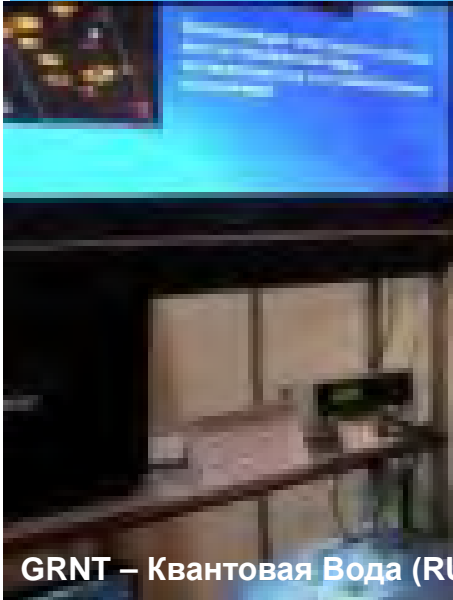
Широносов В.Г. 1984





Питьевая Вода и Антисептики высшего качества

Видео с канала "Valentin Shironosov"



GRNT – Квантовая Вода (RU)



GRNT Quantum Water Spin Isomers (EN)



Резонансные технологии - дорога в будущее



New Automaton from Izhevsk



Видео с канала "Valentin Shironosov"